

# Analisis Perbandingan Kinerja Kombinasi Algoritma BWT-RLE-MTF-Huffman Dan BWT-MTF-RLE-Huffman Pada Kompresi File

Andreas Dony Marhendra S.  
Jurusan Informatika  
Universitas Sebelas Maret  
Jl. Ir. Sutami 36A Surakarta  
andomaze@gmail.com

Esti Suryani  
Jurusan Informatika  
Universitas Sebelas Maret  
Jl. Ir. Sutami 36A Surakarta  
suryapalapa@yahoo.com

Abdul Aziz  
Jurusan Informatika  
Universitas Sebelas Maret  
Jl. Ir. Sutami 36A Surakarta  
Abdul\_7773@yahoo.com

## ABSTRACT

Kompresi data seringkali digunakan untuk proses transmisi data (data transmission) dan penyimpanan data (storage). Keuntungan data yang terkompresi antara lain dapat mengurangi bottleneck pada transmisi data penyimpanan data lebih hemat ruang, mempersulit pembacaan data oleh pihak yang tidak berkepentingan, dan memudahkan distribusi data. Berdasarkan hal tersebut, paper ini menerapkan algoritma kompresi data dengan pengujian pada beberapa file (.txt, .rtf, .doc, .exe, .dll, .tif, dan .bmp). Algoritma yang digunakan merupakan kombinasi beberapa algoritma lossless compression, yaitu Burrows-Wheeler Transform (BWT), Run-Length Encoding (RLE), Move-To-Front (MTF) serta Huffman Coding. Pengujian dilakukan untuk mengetahui besar rasio kompresi, waktu kompresi dan waktu dekompresi. Serta dilakukan perbandingan kinerja pada 2 jenis kombinasi algoritma. Penelitian menghasilkan suatu hasil perbandingan kinerja kompresi file menggunakan kombinasi BMRH (BWT – MTF – RLE – Huffman) dan BRMH (BWT – RLE – MTF – Huffman). Hasil pengujian didapat rata-rata total rasio kompresi, waktu kompresi, dan waktu dekompresi untuk BMRH berturut-turut 70.44 %,  $9.6 \times 10^{-6}$  second/byte, dan  $22.4 \times 10^{-6}$ , sedangkan BRMH berturut-turut 66.57 %,  $9.2 \times 10^{-6}$  second/byte, dan  $15.8 \times 10^{-6}$  second/byte.

## Keywords

Burrows-Wheeler, Kompresi Data, Huffman, Lossless, Move-To-Front, Run-Length Encoding.

## 1. PENDAHULUAN

Penggunaan data digital yang semakin merambah di berbagai aspek sering menimbulkan masalah dalam hal ruang penyimpanan dan transmisi data. Oleh karena itu, pengembangan teknik kompresi perlu dilakukan. Pengembangan algoritma kompresi seringkali didasari algoritma yang sudah ada atau berusaha mengkombinasikan dua atau lebih algoritma. Beberapa algoritma dasar yang sering dikembangkan diantaranya adalah Run-Length Encoding (RLE) dan Huffman.

Huffman Coding merupakan algoritma kompresi lossless entropi yang menggunakan metode spesifik dengan memanfaatkan frekuensi kemunculan simbol, yang kemudian disajikan dalam suatu prefix-tree serta dikodekan dalam kode biner [1]. Huffman Coding ini dapat digunakan dalam lingkup yang luas karena kesederhanaan, kecepatan serta fleksibel pada media kompresi apapun juga biasa digunakan sebagai algoritma “back-end” pada beberapa metode kompresi yang lainnya [2]. Lain pula dengan Run-Length Encoding (RLE), RLE merupakan algoritma kompresi data yang paling sederhana yang memanfaatkan deretan simbol berulang yang panjangnya

dikodekan dalam integer. Masalah yang muncul dalam RLE terletak pada worst case yang dapat menghasilkan output data yang lebih besar dari input data, untuk meminimalkan masalah tersebut maka dapat dikombinasikan dengan algoritma seperti Huffman Coding [3].

Penelitian tentang kompresi data saat ini sering mengkombinasikan algoritma satu dengan yang lainnya untuk mendapatkan performansi kompresi yang lebih tinggi. Michael Dipperstein menyatakan bahwa Burrows-Wheeler (BWT) sebagai pendukung dalam kompresi karena BWT mengkonversi data menjadi suatu format yang umumnya lebih kompresibel dengan metode algoritma RLE [4]. Dipperstein juga menyatakan algoritma Move-To-Front (MTF) dapat meningkatkan kompresi dari metode statistical encoder / entropy seperti metode dasar Huffman atau Arithmetic Coding [5]. Bahkan Burrows & Wheeler dalam penelitiannya mencoba melakukan penambahan algoritma MTF setelah algoritma BWT format data yang dihasilkan menjadi lebih kompresibel oleh metode RLE maupun statistical encoder (seperti Huffman, Arithmetic, dan Shannon-Fano) bahkan dengan ordo “0” sekalipun [6].

Berdasarkan pemaparan masalah dan pertimbangan dari keunggulan metode-metode tersebut maka pada kesempatan ini penulis mencoba melakukan penelitian dengan mempertimbangkan pernyataan sebelumnya dari Michael Dipperstein [5] dan penelitian dari Telaumbanua [7] mengenai keunggulan kombinasi BWT – RLE dan MTF – Huffman kemudian menggabungkan kedua kombinasi tersebut menjadi satu kesatuan yaitu, BRMH (BWT – RLE – MTF – Huffman). Penulis juga mengangkat kombinasi kedua dengan mempertimbangkan pernyataan Burrows & Wheeler [6] mengenai keunggulan menggabungkan BWT dan MTF kemudian digabungkan dengan algoritma RLE serta memanfaatkan Huffman coding sebagai “back-end” dalam kombinasi seperti yang diungkapkan Sharma [2] dan Shanmugasundaram & Lourdasamy [3]. Oleh karena itu penulis mengangkat kombinasi BMRH (BWT – MTF – RLE – Huffman) sebagai kombinasi kedua dalam penelitian ini. Kedua kombinasi algoritma tersebut nantinya akan dilakukan pengujian kinerja berdasarkan rasio kompresi, waktu kompresi dan dekompresi untuk mengetahui tingkat efektivitas dalam kompresi kemudian dilakukan analisis perbandingan satu sama lain.

## 2. DASAR TEORI

### 2.1 Kompresi Data

Kompresi data merupakan cabang ilmu komputer yang bersumber dari teori informasi. Teori informasi mengfokuskan pada berbagai metode tentang informasi



kode yang dihasilkan oleh RLE untuk setiap deret karakter minimal 3 *byte*, maka jumlah perulangan karakter harus lebih dari 3 (tiga) kali agar pengkodean bisa dilakukan. Satu hal yang perlu diperhatikan untuk penanda *m* adalah, sebaiknya yang dipilih adalah karakter yang jarang digunakan pada data (seperti tanda #, ^, |, atau ~).

Algoritma *decoding* pada RLE cukup sederhana yaitu mengembalikan karakter asli berdasarkan jumlah perulangan setiap karakter pada hasil kompresi. Proses *decoding* dilakukan langkah-langkah berikut ini :

1. Lihat karakter pada hasil pemampatan satu-persatu dari awal sampai akhir, jikaditemukan bit penanda, lakukan proses pengembalian.
2. Lihat karakter setelah bit penanda, konversikan ke bilangan desimal untuk menentukan jumlah karakter yang berurutan.
3. Lihat karakter berikutnya, kemudian lakukan penulisan karakter tersebut sebanyak bilangan yang telah diperoleh pada karakter sebelumnya (point 2).

Misalnya, apabila hasil kompresi adalah “^4A2^B^1C^1D^5E^1F^1G^3H^1I^1J” maka hasil dekompresi “AAAABBCDEEEFHHHIIJ”.

Pada umumnya algoritma RLE optimal digunakan pada *file-file* yang memiliki karakter-karakter yang cenderung homogen. Oleh karena itu, jika algoritma tersebut dipergunakan secara *universal* maka perlu dilakukan pengelompokan atau transformasi karakter-karakter / simbol-simbol yang sejenis.

## 2.4 Move-To-Front Coding (RLE)

*Move-To-Front* (MTF) *coding* adalah teknik yang mengkodekan aliran simbol berdasarkan pada kode adaptasi. Simbol dikodekan oleh posisinya sendiri di daftar setiap simbol dalam alfabet. Awalnya daftar diurutkan secara *lexicographic* (atau cara lain yang ditentukan). Setelah simbol dalam aliran data dikodekan, simbol tersebut dipindahkan dari posisi semula ke depan daftar dan simbol terdepan dipindahkan satu posisi ke belakang [9].

Sebagai contoh diberikan daftar urutan alphabet sebagai acuan dalam pengkodean, yaitu (' ','.', 'a', 'e', 'h', 'i', 's', 't') dengan input "ssat tt hiiies ." berikut proses *encoding* berlangsung :

Tabel 1. Proses *Encoding* Algoritma *Move-To-Front* [4]

Renaming Symbols	Symbol List	Encoded Symbols
ssat tt hiiies .	' ','.', 'a', 'e', 'h', 'i', 's', 't'	
sat tt hiiies .	's', ' ', 'a', 'e', 'h', 'i', 't'	6
at tt hiiies .	's', ' ', 'a', 'e', 'h', 'i', 't'	6,0
t tt hiiies .	'a', 's', ' ', 'e', 'h', 'i', 't'	6,0,3
tt hiiies .	't', 'a', 's', ' ', 'e', 'h', 'i', 't'	6,0,3,7
tt hiiies .	't', 't', 'a', 's', ' ', 'e', 'h', 'i', 't'	6,0,3,7,3
t hiiies .	't', 't', 'a', 's', ' ', 'e', 'h', 'i', 't'	6,0,3,7,3,1
hiiies .	't', 't', 'a', 's', ' ', 'e', 'h', 'i', 't'	6,0,3,7,3,1,0
hiiies .	't', 't', 'a', 's', ' ', 'e', 'h', 'i', 't'	6,0,3,7,3,1,0,1
iiies .	'h', 't', 't', 'a', 's', ' ', 'e', 'h', 'i', 't'	6,0,3,7,3,1,0,1,6
ies .	't', 'h', 't', 't', 'a', 's', ' ', 'e', 'h', 'i', 't'	6,0,3,7,3,1,0,1,6,7
es .	't', 'h', 't', 't', 'a', 's', ' ', 'e', 'h', 'i', 't'	6,0,3,7,3,1,0,1,6,7,0
s .	'e', 't', 'h', 't', 't', 'a', 's', ' ', 'e', 'h', 'i', 't'	6,0,3,7,3,1,0,1,6,7,0,7
.	's', 'e', 't', 'h', 't', 't', 'a', 's', ' ', 'e', 'h', 'i', 't'	6,0,3,7,3,1,0,1,6,7,0,7,6
	's', 's', 'e', 't', 'h', 't', 't', 'a', 's', ' ', 'e', 'h', 'i', 't'	6,0,3,7,3,1,0,1,6,7,0,7,6,4
	's', 's', 's', 'e', 't', 'h', 't', 't', 'a', 's', ' ', 'e', 'h', 'i', 't'	6,0,3,7,3,1,0,1,6,7,0,7,6,4,7

Berbeda dengan proses *decoding* BWT, Proses *decoding Move-To-Front* (MTF) lebih singkat dan cukup jelas. Proses ini secara teknis seperti proses *encoding*, tapi lebih intensif memakan waktu [8]. Pada proses ini posisi sebuah simbol dalam daftar simbol setiap alfabet yang nantinya digunakan untuk memecahkan kode simbol. Seperti proses *encode*, Ketentuan daftar simbol dapat secara *lexicographic* (atau cara lain yang telah ditentukan). Data yang telah dikodekan menunjukkan posisi simbol diterjemahkan. Setelah simbol dilakukan *decoding*, simbol dipindahkan ke bagian depan daftar. Berikut ini tabel *decode* dari ketentuan sebelumnya :

Tabel 2. Proses *Decoding* Algoritma *Move-To-Front* [4]

Renaming Symbols	Symbol List	Decoded Symbols
6,0,3,7,3,1,0,1,6,7,0,7,6,4,7	' ','.', 'a', 'e', 'h', 'i', 's', 't'	
0,3,7,3,1,0,1,6,7,0,7,6,4,7	's', ' ', 'a', 'e', 'h', 'i', 't'	s
3,7,3,1,0,1,6,7,0,7,6,4,7	's', ' ', 'a', 'e', 'h', 'i', 't'	ss
7,3,1,0,1,6,7,0,7,6,4,7	'a', 's', ' ', 'e', 'h', 'i', 't'	ssa
3,1,0,1,6,7,0,7,6,4,7	't', 'a', 's', ' ', 'e', 'h', 'i', 't'	ssat
1,0,1,6,7,0,7,6,4,7	't', 't', 'a', 's', ' ', 'e', 'h', 'i', 't'	ssat_
0,1,6,7,0,7,6,4,7	't', 't', 'a', 's', ' ', 'e', 'h', 'i', 't'	ssat t
1,6,7,0,7,6,4,7	't', 't', 'a', 's', ' ', 'e', 'h', 'i', 't'	ssat tt
6,7,0,7,6,4,7	't', 't', 'a', 's', ' ', 'e', 'h', 'i', 't'	ssat tt_
7,0,7,6,4,7	'h', 't', 't', 'a', 's', ' ', 'e', 'h', 'i', 't'	ssat tt h
7,0,7,6,4,7	'h', 't', 't', 'a', 's', ' ', 'e', 'h', 'i', 't'	ssat tt h
0,7,6,4,7	't', 'h', 't', 't', 'a', 's', ' ', 'e', 'h', 'i', 't'	ssat tt hi
7,6,4,7	't', 'h', 't', 't', 'a', 's', ' ', 'e', 'h', 'i', 't'	ssat tt hii
6,4,7	'e', 't', 'h', 't', 't', 'a', 's', ' ', 'e', 'h', 'i', 't'	ssat tt hiiie
4,7	's', 'e', 't', 'h', 't', 't', 'a', 's', ' ', 'e', 'h', 'i', 't'	ssat tt hiiies
7	's', 's', 'e', 't', 'h', 't', 't', 'a', 's', ' ', 'e', 'h', 'i', 't'	ssat tt hiiies_
	's', 's', 's', 'e', 't', 'h', 't', 't', 'a', 's', ' ', 'e', 'h', 'i', 't'	ssat tt hiiies .

## 2.5 Huffman Coding

Algoritma *Huffman* adalah salah satu metode yang paling terkenal dalam kompresi teks, algoritma ini dibuat oleh *David Huffman* pada tahun 1952. Algoritma *Huffman* menggunakan prinsip pengkodean yang mirip dengan kode *Morse*, yaitu tiap karakter dikodekan hanya dengan rangkaian beberapa bit, dimana karakter yang sering muncul dikodekan dengan rangkaian bit yang pendek dan karakter yang jarang muncul dikodekan dengan rangkaian bit yang lebih panjang [10].

Algoritma kompresi *Huffman* menghasilkan kode bit yang lebih sedikit atau efisien untuk karakter-karakter yang sering muncul dalam data teks. Untuk membuktikan hal tersebut, maka dibuatlah pohon biner *Huffman*. Kode tersebut diperoleh dengan cara menyusun sebuah pohon biner *Huffman* untuk masing-masing simbol berdasarkan nilai probabilitasnya. Simpul yang memiliki probabilitas terbesar akan dekat dengan *root* dan simpul yang memiliki probabilitas terkecil akan terletak jauh dari *root* [5]. Langkah-langkah pembuatan pohon biner *Huffman* adalah :

1. Pengurutan keluaran sumber berdasarkan frekuensi kemunculan.
2. Menggabungkan dua keluaran yang memiliki frekuensi terendah.
3. Memberikan nilai kode bit 0 di sebelah kiri dan kode bit 1 di sebelah kanan.
4. Apabila sebuah keluaran merupakan hasil dari penggabungan dua keluaran, maka berikan kode bit 0 dan 1 untuk kode *word*-nya, lakukan proses ini hingga terbentuk akar.

Berikut ini adalah contoh penerapan algoritma kompresi *Huffman*. Sebuah *file* berisi karakter “MATA-MATA” dimana

jika diuraikan berdasarkan kode ASCII, maka akan terlihat sebagai berikut :

**Tabel 3. Konversi Karakter dalam Kode Biner ASCII [10]**

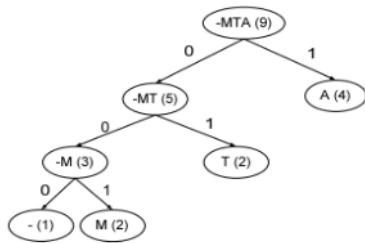
KARAKTER	KODE BINER ASCII
M	0100 1101
A	0100 0001
-	0010 1101
T	0101 0100

Setelah membaca setiap karakter yang ada dalam teks, kemudian dihitung frekuensi kemunculannya.

**Tabel 4. Frekuensi Kemunculan Karakter [10]**

KARAKTER	FREKUENSI
A	4/9
M	2/9
T	2/9
-	1/9

Penghitungan selesai, langkah berikutnya adalah membuat pohon Huffman.



**Gambar 5. Pohon algoritma Huffman [10]**

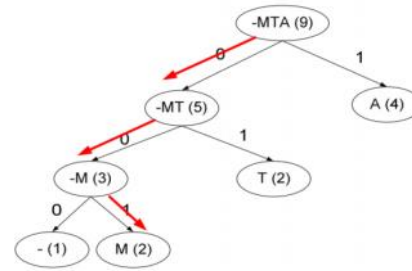
Didapat kode baru untuk masing-masing karakter adalah sebagai berikut :

**Tabel 5. Kode Bit Hasil Kompresi [10]**

KARAKTER	KODE BINER
A	1
M	001
T	01
-	000

Dekompresi teks dapat dilakukan dengan dua cara, yang pertama dengan menggunakan pohon biner Huffman dan yang kedua dengan menggunakan tabel kode biner Huffman. Langkah-langkah mengdekompresi suatu kode biner yang merupakan hasil dari proses kompresi dengan menggunakan pohon biner Huffman adalah sebagai berikut :

1. Baca sebuah bit dari kode biner.
2. Menelusuri pohon mulai dari atas atau akar, periksa ke kanan dan kekiri.
3. Ulangi langkah 1 dan 2 sampai bertemu daun. Kodekan rangkaian bit yang telah dibaca dengan karakter daun.
4. Ulangi dari langkah 1 sampai semua bit di dalam kode biner terbaca semua dan berubah menjadi karakter-karakter yang sesuai pada daun.



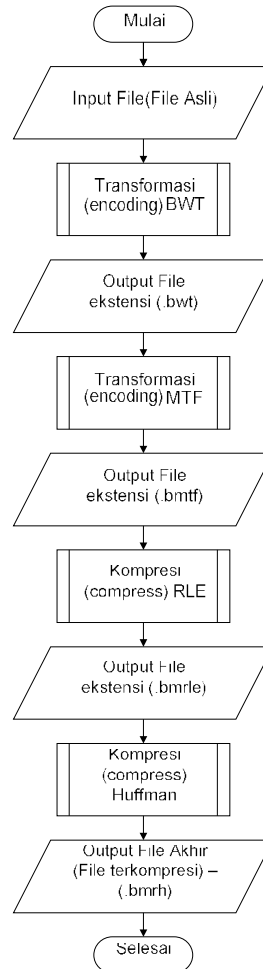
**Gambar 6. Proses Dekompresi dengan pohon algoritma Huffman [10]**

### 3. METODE PENELITIAN

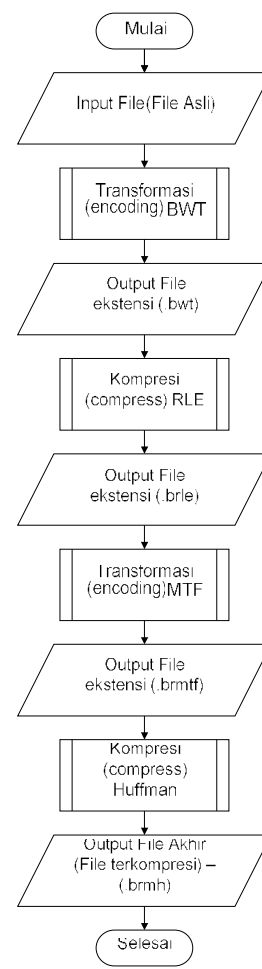
Metode dan teknik yang digunakan dalam implementasi kasus *data compression* ini terbagi dalam 3 tahap, yaitu tahap kompresi, tahap dekompresi, dan tahap pengujian dan perbandingan kinerja dua kombinasi algoritma. Berikut gambaran secara keseluruhan alur penyelesaian :

#### 3.1 Tahap Kompresi

Gambar 7 dan gambar 8 berikut menunjukkan diagram alir (*flowchart*) rancangan proses *encoding* (kompresi) kombinasi penggabungan algoritma BWT, RLE, MTF dan Huffman.



**Gambar 7. Flowchart Kompresi BMRH**



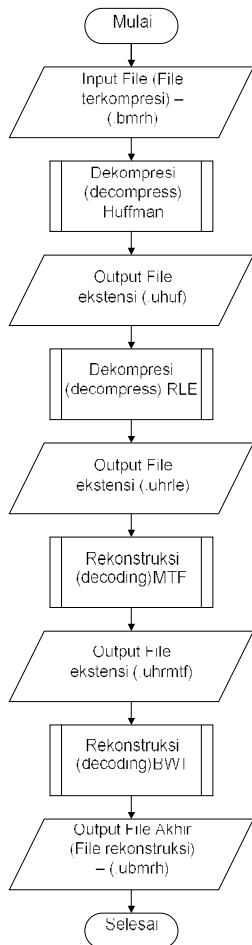
**Gambar 8. Flowchart Kompresi BRMH**

Tahap kompresi ini, *file* dikompresi dengan menggunakan kombinasi algoritma BMRH dan BRMH kemudian akan menghasilkan sebuah output file kompresi yang berekstensi (.bmrh) untuk kombinasi BMRH dan (.brmh) untuk kombinasi BRMH. Metode - metode kompresi yang digunakan terdiri dari 2 algoritma transformasi (BWT dan MTF) dan 2 algoritma kompresi (RLE dan Huffman) dengan perbedaan hanya pada komposisi.

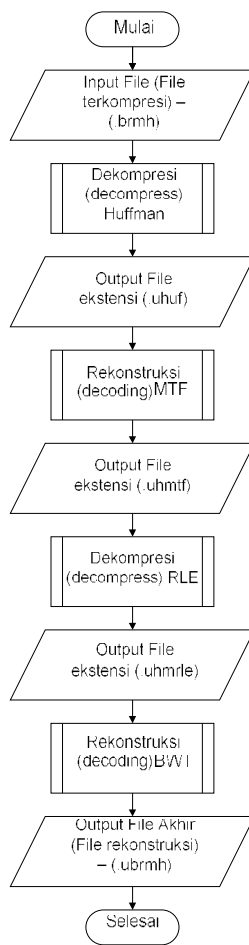
### 3.2 Tahap Dekompresi

Gambar 9 dan gambar 10 berikut menunjukkan diagram alir (*flowchart*) rancangan proses *decoding* (dekomposisi) kombinasi penggabungan algoritma BWT, RLE, MTF dan *Huffman* yang berupa proses kebalikan dari tahap kompresi.

Tahap dekomposisi ini, *file* didekompresi dengan menggunakan kombinasi algoritma BMRH dan BRMH sehingga akan menghasilkan sebuah output file rekonstruksi yang berekstensi (.ubmrh) untuk kombinasi BMRH dan (.ubrmh) untuk kombinasi BRMH.



Gambar 9. *Flowchart* Dekompresi BMRH



Gambar 10. *Flowchart* Dekompresi BRMH

### 3.3 Tahap Pengujian dan Perbandingan

Pada tahap pengujian dan perbandingan dilakukan perhitungan kinerja dengan beberapa ketentuan dan parameter pengujian sebagai tolok ukur efektivitas algoritma serta beberapa jenis *file*

uji yang sudah ditentukan dan pada batasan masalah, seperti berikut ini :

1. Pengujian kinerja tiap algoritma pada *file* uji Perhitungan performansi dengan *rasio performansi kompresi* dengan rumus sebagai berikut [11] :

$$Rasio = 1 - \frac{Ukuran File kompresi (byte)}{Ukuran File Asli (byte)} \times 100\% \quad .1$$

Perhitungan rentang *waktu kompresi* dan *dekomposisi* per satuan *byte* agar dapat dibandingkan pada perhitungan *waktu kompresi* dan *dekomposisi* untuk tiap ukuran *file* dengan rumus sebagai berikut [11] :

$$Waktu Kompresi per Byte = \frac{Waktu Kompresi (second)}{Ukuran File Asli (byte)} \quad .2$$

$$Waktu Dekompresi per Byte = \frac{Waktu Dekompresi (second)}{Ukuran File Kompresi (byte)} \quad .3$$

*File-file* yang akan diujikan untuk proses kompresi dan dekomposisi menggunakan format *Text (.txt)*, *Rich Text Format (.rtf)*, *Document (.doc)*, *Application (.exe)*, *Bitmap (.bmp)*, *Tagged Image Format (.tif)* dan *Application Extension / Library (.dll)*. Pengujian dilakukan sebanyak 420 kali meliputi uji kompresi maupun dekomposisi pada kedua algoritma (BMRH dan BRMH), dengan menggunakan 105 *file* yang terdiri dari beberapa ukuran *file*.

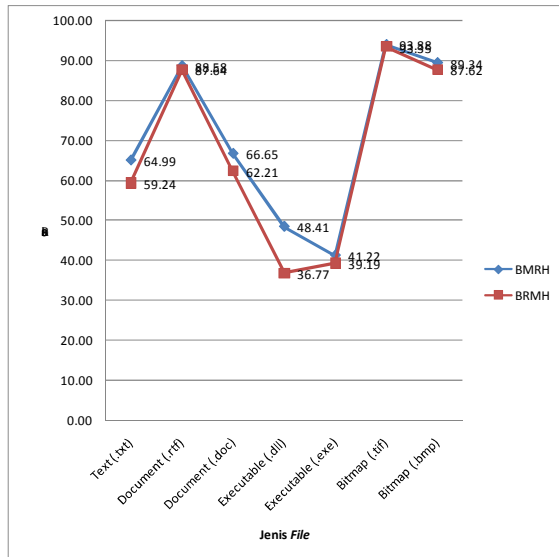
2. Membandingkan kinerja algoritma yang diuji Setelah pengujian kinerja, dilakukan perbandingan hasil berdasarkan parameter waktu dan rasio kompresi yang telah dihitung pada tahap pengujian. Kemudian menarik kesimpulan dari hasil perbandingan tersebut.

## 4. HASIL DAN PEMBAHASAN

Pada hasil dan pembahasan dilakukan perbandingan kinerja kombinasi algoritma BMRH dan BRMH berdasarkan variabel terkait yang ditentukan seperti rasio dan waktu kompresi serta waktu dekomposisi. Hasil disajikan dalam bentuk diagram kemudian dilakukan analisis perbandingan baik dalam taraf jenis *file* maupun rata-rata total keseluruhan.

### 4.1 Perbandingan Rasio Kompresi

Tabel 6 dan Gambar 11 di bawah ini menunjukkan perbandingan rasio kompresi antara kombinasi algoritma BMRH dan BRMH yang ditinjau dari tiap jenis *file*.



Gambar 11. Grafik Hasil Perbandingan Rasio Algoritma BMRH dan BRMH

Tabel 6. Hasil Pengujian Rasio Algoritma BMRH dan BRMH

Jenis File	Rasio (%)	
	BMRH	BRMH
Text (.txt) 0 - 1 MB	67.73	65.43
Text (.txt) 1 - 3 MB	70.90	64.88
Text (.txt) 3 - 6 MB	56.35	47.41
<b>Rata - Rata Text (.txt)</b>	<b>64.99</b>	<b>59.24</b>
Document (.rtf) 0 - 1 MB	86.02	85.09
Document (.rtf) 1 - 3 MB	89.72	89.20
Document (.rtf) 3 - 6 MB	90.01	88.61
<b>Rata - Rata Document (.rtf)</b>	<b>88.58</b>	<b>87.64</b>
Document (.doc) 0 - 1 MB	66.92	64.12
Document (.doc) 1 - 3 MB	69.69	66.92
Document (.doc) 3 - 6 MB	63.35	55.60
<b>Rata - Rata Document (.doc)</b>	<b>66.65</b>	<b>62.21</b>
Executable (.dll) 0 - 1 MB	47.82	33.03
Executable (.dll) 1 - 3 MB	53.15	49.75
Executable (.dll) 3 - 6 MB	44.26	27.52
<b>Rata - Rata Executable (.dll)</b>	<b>48.41</b>	<b>36.77</b>
Executable (.exe) 0 - 1 MB	47.31	46.54
Executable (.exe) 2 - 3 MB	37.34	30.22
Executable (.exe) 3 - 6 MB	39.02	40.80
<b>Rata - Rata Executable (.exe)</b>	<b>41.22</b>	<b>39.19</b>
Bitmap (.tif) 0 - 1 MB	92.62	92.54
Bitmap (.tif) 1 - 3 MB	95.18	94.91
Bitmap (.tif) 3 - 6 MB	93.84	92.59
<b>Rata - Rata Bitmap (.tif)</b>	<b>93.88</b>	<b>93.35</b>
Bitmap (.bmp) 0 - 1 MB	84.43	79.51
Bitmap (.bmp) 2 - 3 MB	94.15	93.62
Bitmap (.bmp) 3 - 6 MB	89.42	89.73
<b>Rata - Rata Bitmap (.bmp)</b>	<b>89.34</b>	<b>87.62</b>
<b>Rata - Rata Total</b>	<b>70.44</b>	<b>66.57</b>

Berdasarkan hasil perbandingan rasio kompresi yang ditampilkan lewat Tabel 6 dan Gambar 11. Terlihat bahwa file (.rtf), (.tif), dan (.bmp) memiliki rasio kompresi yang paling signifikan (hampir mendekati 90 %) diantara keempat jenis file

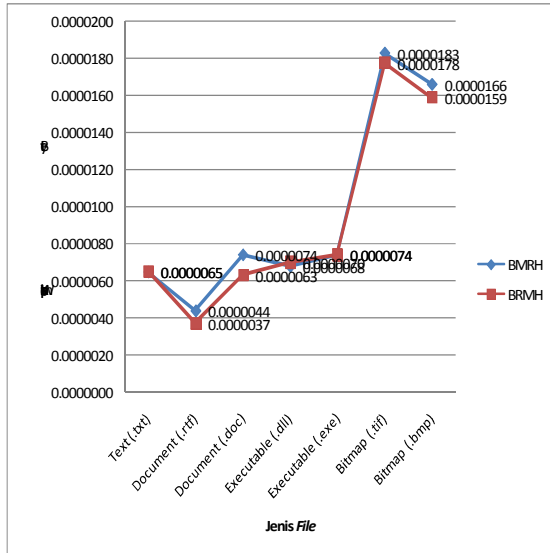
lainnya yaitu, berturut-turut 88.58 %, 93.88 % dan 89.34 % untuk kombinasi BMRH serta 87.64 %, 93.35 % dan 87.62 % untuk kombinasi BRMH. Bila ditinjau dari rata-rata total algoritma BMRH memberikan rasio kompresi yang lebih tinggi 3.87 % dibanding algoritma BRMH begitu pula bila ditinjau tiap jenis file. Secara keseluruhan algoritma BMRH lebih efektif dalam kompresi dibanding algoritma BRMH.

## 4.2 Perbandingan Waktu Kompresi

Tabel 7 dan Gambar 12 di bawah ini menunjukkan perbandingan waktu kompresi per byte antara kombinasi algoritma BMRH dan BRMH yang ditinjau dari tiap jenis file.

Tabel 7. Hasil Pengujian Waktu Kompresi Algoritma BMRH dan BRMH

Jenis File	Waktu Kompresi per Byte (second)	
	BMRH	BRMH
Text (.txt) 0 - 1 MB	0.0000036	0.0000040
Text (.txt) 1 - 3 MB	0.0000109	0.0000110
Text (.txt) 3 - 6 MB	0.0000050	0.0000044
<b>Rata - Rata Text (.txt)</b>	<b>0.0000065</b>	<b>0.0000065</b>
Document (.rtf) 0 - 1 MB	0.0000049	0.0000041
Document (.rtf) 1 - 3 MB	0.0000041	0.0000035
Document (.rtf) 3 - 6 MB	0.0000043	0.0000035
<b>Rata - Rata Document (.rtf)</b>	<b>0.0000044</b>	<b>0.0000037</b>
Document (.doc) 0 - 1 MB	0.0000068	0.0000058
Document (.doc) 1 - 3 MB	0.0000065	0.0000054
Document (.doc) 3 - 6 MB	0.0000089	0.0000076
<b>Rata - Rata Document (.doc)</b>	<b>0.0000074</b>	<b>0.0000063</b>
Executable (.dll) 0 - 1 MB	0.0000054	0.0000067
Executable (.dll) 1 - 3 MB	0.0000077	0.0000075
Executable (.dll) 3 - 6 MB	0.0000073	0.0000067
<b>Rata - Rata Executable (.dll)</b>	<b>0.0000068</b>	<b>0.0000070</b>
Executable (.exe) 0 - 1 MB	0.0000064	0.0000069
Executable (.exe) 2 - 3 MB	0.0000099	0.0000097
Executable (.exe) 3 - 6 MB	0.0000058	0.0000055
<b>Rata - Rata Executable (.exe)</b>	<b>0.0000074</b>	<b>0.0000074</b>
Bitmap (.tif) 0 - 1 MB	0.0000046	0.0000039
Bitmap (.tif) 1 - 3 MB	0.0000066	0.0000062
Bitmap (.tif) 3 - 6 MB	0.0000437	0.0000431
<b>Rata - Rata Bitmap (.tif)</b>	<b>0.0000183</b>	<b>0.0000178</b>
Bitmap (.bmp) 0 - 1 MB	0.0000056	0.0000036
Bitmap (.bmp) 2 - 3 MB	0.0000034	0.0000034
Bitmap (.bmp) 3 - 6 MB	0.0000410	0.0000408
<b>Rata - Rata Bitmap (.bmp)</b>	<b>0.0000166</b>	<b>0.0000159</b>
<b>Rata - Rata Total</b>	<b>0.0000096</b>	<b>0.0000092</b>

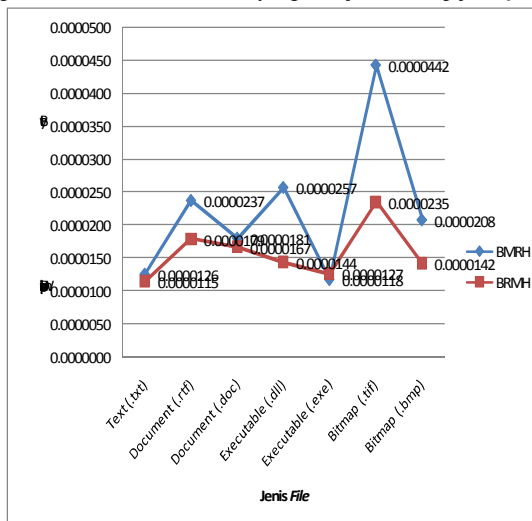


Gambar 12. Grafik Hasil Perbandingan Waktu Kompresi Algoritma BMRH dan BRMH

Berdasarkan hasil perbandingan waktu kompresi yang ditampilkan lewat Tabel 7. dan Gambar 12, hasil perbandingan waktu kompresi algoritma BMRH dan BRMH menunjukkan tidak tampak adanya perbedaan yang cukup berarti diantara kedua algoritma ditinjau dari waktu kompresi dilihat dari bentuk grafik antara BMRH dan BRMH bahkan pada file (.exe) dan (.txt) memiliki rata-rata waktu kompresi yang sama. File (.rtf) pada pengujian ini memiliki rata-rata waktu kompresi yang paling rendah diantara jenis file uji lainnya. Sedangkan file (.tif) dan (.bmp) memiliki interval perbedaan waktu kompresi yang paling tinggi dengan file lainnya. Pada perhitungan variabel ini terlihat jelas bahwa rata-rata total waktu kompresi baik kombinasi BMRH dan BRMH memiliki perbedaan yang tidak terlalu signifikan.

### 4.3 Perbandingan Waktu Dekompresi

Tabel 8 dan Gambar 13 di bawah ini menunjukkan perbandingan waktu dekompresi per byte antara kombinasi algoritma BMRH dan BRMH yang ditinjau dari tiap jenis file.



Gambar 13. Grafik Hasil Perbandingan Waktu Dekompresi Algoritma BMRH dan BRMH

Tabel 8. Hasil Pengujian Waktu Dekompresi Algoritma BMRH dan BRMH

Jenis File	Waktu Dekompresi per Byte (second)	
	BMRH	BRMH
Text (.txt) 0 - 1 MB	0.0000130	0.0000115
Text (.txt) 1 - 3 MB	0.0000126	0.0000116
Text (.txt) 3 - 6 MB	0.0000123	0.0000114
<b>Rata - Rata Text (.txt)</b>	<b>0.0000126</b>	<b>0.0000115</b>
Document (.rtf) 0 - 1 MB	0.0000237	0.0000170
Document (.rtf) 1 - 3 MB	0.0000239	0.0000182
Document (.rtf) 3 - 6 MB	0.0000237	0.0000185
<b>Rata - Rata Document (.rtf)</b>	<b>0.0000237</b>	<b>0.0000179</b>
Document (.doc) 0 - 1 MB	0.0000182	0.0000168
Document (.doc) 1 - 3 MB	0.0000186	0.0000169
Document (.doc) 3 - 6 MB	0.0000173	0.0000164
<b>Rata - Rata Document (.doc)</b>	<b>0.0000181</b>	<b>0.0000167</b>
Executable (.dll) 0 - 1 MB	0.0000132	0.0000147
Executable (.dll) 1 - 3 MB	0.0000161	0.0000150
Executable (.dll) 3 - 6 MB	0.0000479	0.0000135
<b>Rata - Rata Executable (.dll)</b>	<b>0.0000257</b>	<b>0.0000144</b>
Executable (.exe) 0 - 1 MB	0.0000117	0.0000153
Executable (.exe) 2 - 3 MB	0.0000130	0.0000122
Executable (.exe) 3 - 6 MB	0.0000107	0.0000107
<b>Rata - Rata Executable (.exe)</b>	<b>0.0000118</b>	<b>0.0000127</b>
Bitmap (.tif) 0 - 1 MB	0.0000334	0.0000205
Bitmap (.tif) 1 - 3 MB	0.0000477	0.0000275
Bitmap (.tif) 3 - 6 MB	0.0000516	0.0000224
<b>Rata - Rata Bitmap (.tif)</b>	<b>0.0000442</b>	<b>0.0000235</b>
Bitmap (.bmp) 0 - 1 MB	0.0000183	0.0000134
Bitmap (.bmp) 2 - 3 MB	0.0000218	0.0000147
Bitmap (.bmp) 3 - 6 MB	0.0000225	0.0000145
<b>Rata - Rata Bitmap (.bmp)</b>	<b>0.0000442</b>	<b>0.0000235</b>
<b>Rata - Rata Total</b>	<b>0.0000224</b>	<b>0.0000158</b>

Berdasarkan hasil perbandingan waktu dekompresi yang ditampilkan lewat Tabel 8 dan Gambar 13, Apabila ditinjau dari gambar grafik, didapat bahwa kombinasi algoritma BRMH unggul (waktu dekompresi lebih rendah) pada pengujian file (.txt), (.rtf), (.doc), (.dll), (.tif), dan (.bmp). Sedangkan untuk file (.exe) lebih unggul kombinasi algoritma BMRH dengan interval perbedaan tidak terlalu besar dengan BRMH. Jika dilihat dari rata-rata total, secara keseluruhan algoritma BRMH lebih cepat dalam dekompresi dibanding algoritma BMRH.

Hasil kompresi terhadap beberapa file uji didapat bahwa rasio kompresi kombinasi algoritma BMRH lebih besar dibanding kombinasi BRMH dilihat dari presentase reduksi yang lebih besar. Hal tersebut terjadi karena ada beberapa perilaku yang perlu diperhatikan dalam penggabungan algoritma Run-Length Encoding (RLE) dan Move-To-Front (MTF) dalam kompresi kombinasi BRMH.

Pada kombinasi BRMH (BWT – RLE – MTF – Huffman), proses kombinasi tahap penggabungan metode kedua, yaitu BWT – RLE secara perilaku proses kompresi berjalan sesuai dengan pemaparan Burrows & Wheeler (1994) yang dapat meningkatkan kinerja RLE menjadi lebih kompresif karena sifat algoritma BWT pada dasarnya mengumpulkan byte / karakter sejenis dalam suatu source file yang kemudian dapat dikodekan

dengan mudah oleh RLE dengan mengganti kelompok karakter sejenis tersebut menjadi 3 karakter saja (*marker byte*, *byte* indeks numerik, dan karakter itu sendiri). Akan tetapi ketika mencapai tahap penggabungan metode ketiga yaitu BWT – RLE – MTF, operasi *encoding* MTF akan memindahkan *byte* indeks numerik baru tersebut ke depan karena terdeteksi sebagai varian simbol yang baru dan akhirnya memungkinkan bertambahnya *byte – byte* dari simbol yang baru. Hingga akhirnya pada tahap penggabungan metode yang terakhir yaitu BWT – RLE – MTF – *Huffman*, metode *Huffman* melakukan kompresi berdasar frekuensi kemunculan karakter, dan tiap jenis karakter dilakukan *bit-level encoding* berdasarkan *mapping* pohon *Huffman*. Keberhasilan dari metode *Huffman* ini sangat bergantung pada metode sebelumnya. Semakin sedikit varian *byte* / karakter yang dihasilkan maka output dari metode *Huffman* yang dihasilkan akan lebih kecil ukurannya.

Sedangkan kombinasi BMRH (BWT – MTF – RLE – *Huffman*), proses yang dijalankan hingga tahap penggabungan metode kedua yaitu BWT – MTF tidak bersifat kompresif tetapi hasil yang didapat berpengaruh pada proses kompresi selanjutnya. Output BWT yang dikenai MTF dikodekan menjadi karakter numerik. Sebelumnya algoritma BWT telah mengelompokkan karakter sejenis maka MTF akan melakukan *encoding* pada saat pergantian karakter saja, selebihnya karakter sejenis yang mengikuti akan dikodekan dengan numerik “0” hingga bertemu kembali dengan varian karakter yang berbe da. Dengan demikian varian karakter menjadi lebih sedikit dan apabila terdapat banyak karakter sejenis dalam suatu *file* input maka frekuensi kemunculan karakter numerik “0” juga akan lebih banyak. Proses kompresi RLE pada tahap penggabungan metode ketiga, yaitu BWT – MTF – RLE tentunya akan lebih kompresif dikarenakan hasil output MTF yang memiliki varian karakter yang lebih sedikit serta frekuensi kemunculan karakter sejenis yang bertambah. Hingga akhirnya dengan metode *Huffman* pada tahap penggabungan yang terakhir BWT – MTF – RLE – *Huffman* terjadi proses reduksi ukuran *file* dengan mengkodekan karakter pada tingkat *bit-level* seperti penjelasan kombinasi BRMH sebelumnya.

Berdasarkan penjelasan tersebut dapat dikatakan bahwa kombinasi BMRH (BWT – MTF – RLE – *Huffman*) lebih unggul dalam rasio kompresi dikarenakan penggabungan BWT – MTF mampu menekan variasi karakter yang muncul serta meningkatkan kemunculan frekuensi karakter sejenis sehingga nantinya dalam proses kompresi baik RLE dan *Huffman* reduksi ukuran *file* dapat lebih besar. Sedangkan kombinasi untuk BRMH (BWT – RLE – MTF – *Huffman*), walaupun dalam penelitian sebelumnya penggabungan BWT – RLE (Telaumbanua, 2011) dan MTF – *Huffman* (Bentley, *et al*, 1986) mampu mereduksi ukuran *file*. Akan tetapi jika keduanya digabungkan maka pada perlakuan algoritma MTF dalam *encoding* yang sebelumnya dikenai algoritma BWT – RLE menyebabkan kurang maksimalnya dalam kompresi *file* karena akan cenderung memungkinkan menghasilkan *bytes* / karakter baru yang dapat menambah ukuran atau *size* objek kompresi.

## 5. KESIMPULAN

Setelah dilakukan pengujian dan perbandingan antara kedua kombinasi algoritma BMRH dan BRMH didapat besarnya rata-rata rasio kompresi dari terbesar hingga terkecil berturut-turut untuk pengujian kombinasi BMRH adalah *file* (.tif), (.bmp), (.rtf), (.doc), (.txt), (.dll), dan (.exe) serta untuk pengujian kombinasi BRMH adalah *file* (.tif), (.rtf), (.bmp), (.doc), (.txt), (.exe), dan (.dll) yang secara keseluruhan unggul pada algoritma BMRH. Waktu yang dibutuhkan untuk proses kompresi dan dekomposisi pada kedua kombinasi menunjukkan selisih perbedaan, untuk waktu kompresi BRMH lebih cepat  $0.4 \times$

$10^{-6}$  *second/byte* dibanding BMRH, sedangkan untuk waktu dekomposisi BRMH lebih cepat  $6.6 \times 10^{-6}$  *second/byte* dibanding BMRH. Berdasarkan rata-rata total dari parameter-parameter yang diujikan didapat untuk kombinasi BMRH memiliki rasio kompresi 70.44 %, waktu kompresi  $9.6 \times 10^{-6}$  *second/byte*, dan waktu dekomposisi  $22.4 \times 10^{-6}$  *second/byte*, sedangkan untuk kombinasi BRMH memiliki rasio kompresi 66.57 %, waktu kompresi  $9.2 \times 10^{-6}$  *second/byte*, dan waktu dekomposisi  $15.8 \times 10^{-6}$  *second/byte*. Berdasarkan hasil rata-rata total yang didapat dapat disimpulkan BMRH lebih unggul dalam performansi kompresi data dibanding kombinasi BRMH.

## 6. SARAN

Adapun beberapa saran yang dapat diberikan untuk penelitian-penelitian selanjutnya yaitu mungkin kombinasi dapat dilakukan variasi dengan algoritma lain terutama algoritma *Huffman* dapat diganti dengan algoritma *statistical encoder* yang lain misal, *arithmetic coding*, *adaptive Huffman* atau *Shannon-Fano Coding*. Oleh karena waktu kompresi dan dekomposisi yang masih terlihat cukup lama, maka dapat dilakukan modifikasi kombinasi penggabungan algoritma BRMH dan BMRH menjadi satu kesatuan algoritma kompresi baru supaya waktu eksekusi dapat lebih cepat dan permasalahan perilaku penggabungan satu sama lainnya dalam proses kompresi tidak terjadi.

## 7. REFERENSI

- [1] Al-laham, M & Emary, M M E. 2007. Comparative Study Between Various Algorithms of Data Compression Techniques. *Proceeding of the World Congress on Engineering and Computer Science 2007*. San Francisco, USA. ISBN: 978-988-98671-6-4.
- [2] Sharma, Mamta. 2010. Compression Using Huffman Coding. *IJCSNS International Journal of Computer Science and Network Security*, Vol. 10 No.5, May 2010.
- [3] Shanmugasundaram, S & Lourdasamy, R. 2011. A Comparative Study Of Text Compression Algorithms. *International Journal of Wisdom Based Computing*, Vol. 1 (3), Desember 2011.
- [4] Dipperstein, Michael. 2010. *Burrows-Wheeler Transform Discussion and Implementation*, 2000-2010: *Michael Dipperstein O’Stuff*, (Online), (<http://michael.dipperstein.com/bwt/>), diakses 06 Maret 2012 pukul 08.17 WIB).
- [5] Dipperstein, Michael. 2010. *Huffman Code Discussion and Implementation*, 2000-2010: *Michael Dipperstein’s Page O’Stuff*, (Online), (<http://michael.dipperstein.com/huffman/>), diakses 06 Maret 2012 pukul 08.18 WIB).
- [6] Burrows, M & Wheeler, D. 1994. *A Block-sorting Lossless Data Compression Algorithm*. Technical Report 124, Digital Systems Research Center, Palo Alto, California, May 1994.
- [7] Telaumbanua, Plipus. 2011. *Analisis Perbandingan Algoritma Kompresi Lempel Ziv Welch, Arithmetic Coding, Dan Run-Length Encoding Pada File Teks*. Publikasi Skripsi. Medan : Universitas Sumatera Utara.
- [8] Dipperstein, Michael. 2010. *Run-Length Encoding (RLE) Discussion and Implementation*, 2000-2010: *Michael Dipperstein O’Stuff*, (Online), (<http://michael.dipperstein.com/rle/>), diakses 06 Maret 2012 pukul 08.15 WIB).
- [9] Langer, Michael. 2008. *Move-to-front Algorithm*. <http://www.cim.mcgill.ca/~langer/423/lecture8.pdf>. Diakses Tanggal 06 Maret 2012 Pukul 08.09 WIB.

- [10] Septin, Saputri. 2010. *Perbandingan Rasio Kompresi dan Efisiensi Algoritma Shannon-Fano dengan Algoritma Huffman Pada Kompresi Teks*. Publikasi Skripsi. Medan : Universitas Sumatera Utara.
- [11] Pu Ida Mengyi. 2006. *Fundamental Data Compression*. London: Butterworth-Heinemann.